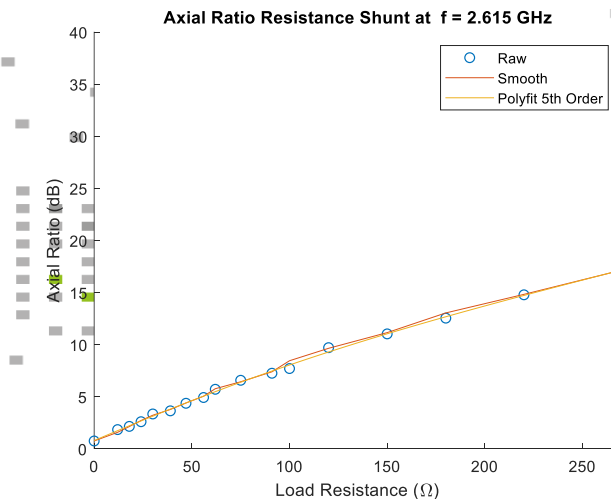
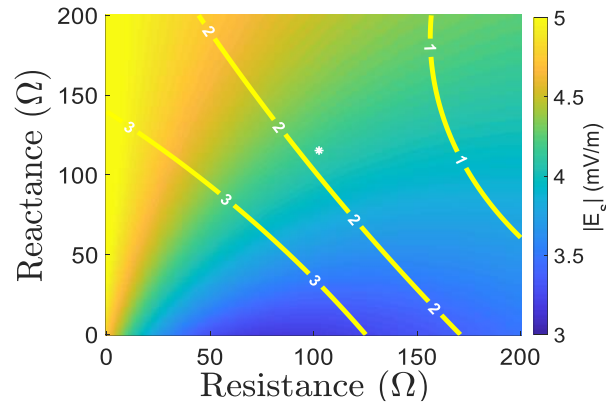
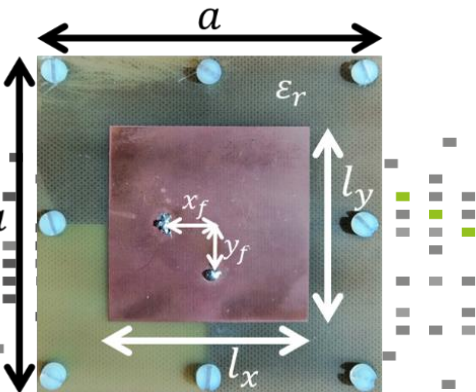


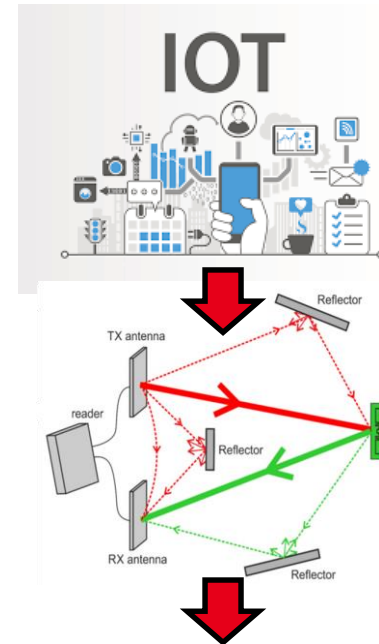
# CONTRÔLE DE LA POLARISATION DU CHAMP ÉLECTROMAGNÉTIQUE : DE LA RÉTRODIFFUSION POLARIMÉTRIQUE AU CAPTEUR SANS FIL

Luis Felipe FONSECA DIAS, Camille JOUVAUD, Christophe DELAVEAUD, Hervé AUBERT

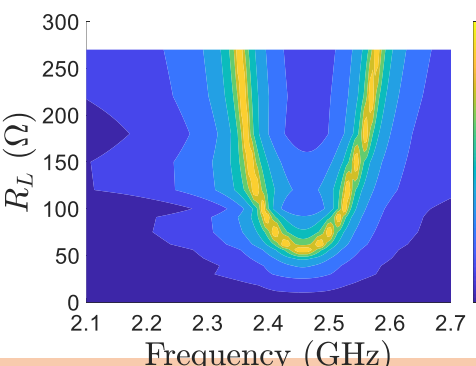
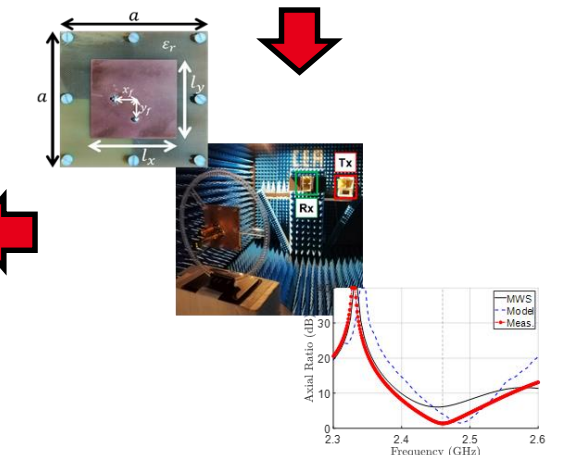


# TABLE DES MATIÈRES

1. Contexte & Motivation
2. La rétrodiffusion polarimétrique et validation expérimentale
3. Applications aux capteurs sans fils
4. Conclusions & Perspectives



$$[d^s] = \left( [S^0] - \frac{1}{2} [S^a][K][I^0] \right) [\rho_i]$$



30/06/2022 Journée scientifique - « Communication par rétrodiffusion et rétro modulation »

# MOTIVATIONS

How to make the outdoor and indoor passive sensor more visible??

## Physical Value

Temperature, Humidity, Gas, Pressure ...

## Antenna Design

Optimal impedance to transducer

Directive radiation, Polarization fixed

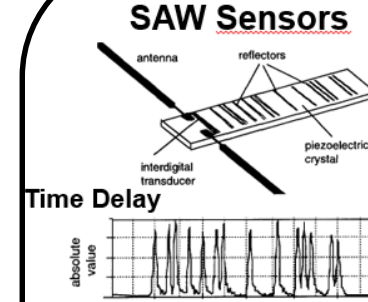
## Interrogation Principle

Frequency or Amplitude Modulation

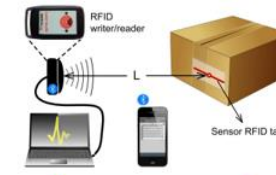
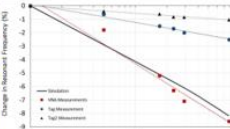
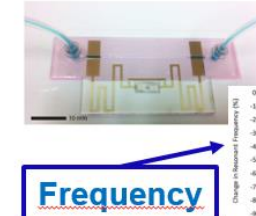
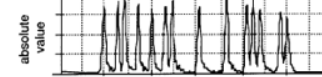
Clutter reduction techniques

Polarization Control

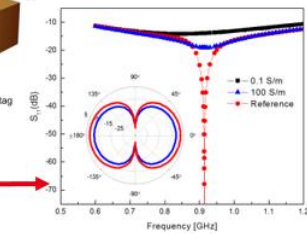
This work focus on the Interrogation Principle based on the polarization control  
Especially on antenna with ground plane or in front of a metallic plane



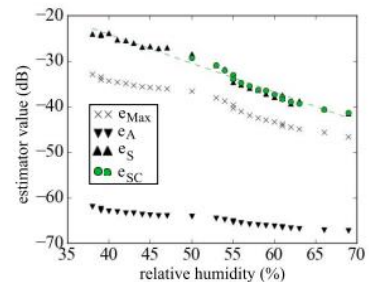
### Time Delay



### Amplitude



## Cross-Polarization



D. Henry, J. G. D. Hester, H. Aubert, P. Pons and M. M. Tentzeris, "Long-Range Wireless Interrogation of Passive Humidity Sensors Using Van-Atta Cross-Polarization Effect and Different Beam Scanning Techniques", *IEEE Transactions on Microw. Theory & Techn.*, pp. 5345-5354, Vol. 65, Issue 12, Dec. 2017

## ETAT DE L'ART → POLARISATION

Interrogation Principle

Frequency or Amplitude Modulation

Clutter reduction techniques

Polarization Control

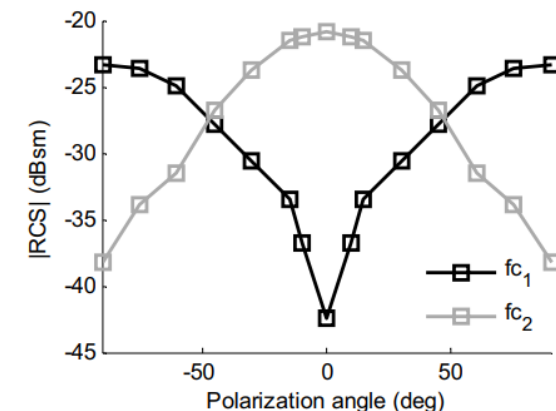
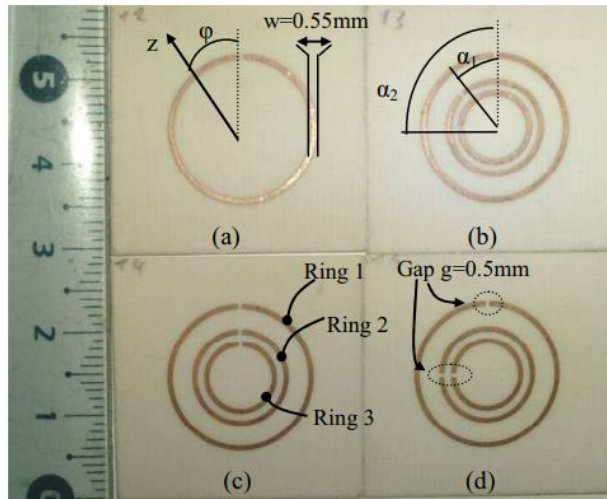
Compact Chipless RFID Tag using polarisation diversity [1]Mesures réalisées à deux fréquence → 6 bits sur 3x3 cm<sup>3</sup>

Fig. 5. |RCS| simulation results for a single split ring resonator (Fig. 2 (a)) as a function of the incident wave polarization angle for the two resonant modes  $f_{c1}=3.1$  GHz and  $f_{c2}=4.6$  GHz.

[1] A. Vena, E. Perret and S. Tedjini, "A Compact Chipless RFID Tag Using Polarization Diversity for Encoding and Sensing", 2012 IEEE International Conference on RFID (RFID), Orlando, USA, April 2012

# HISTOIRE DES MODÈLES DE RÉTRODIFFUSIONS

1963

## Green

Simple physical definition

Circuit Analysis

Single port

Lack of Characterization

1989

## Hansen

Clear SWE Development

Sum up Linear Analysis

Single port and no polarization

Lack of Measurement

1994

## Heidrich

Not SWE, Polarization based

Two-port

Characterization Considerations

Limiting Conditions

2022

## This work

Not SWE, Polarization based

N-port (Two-port Validation)

Characterization Considerations

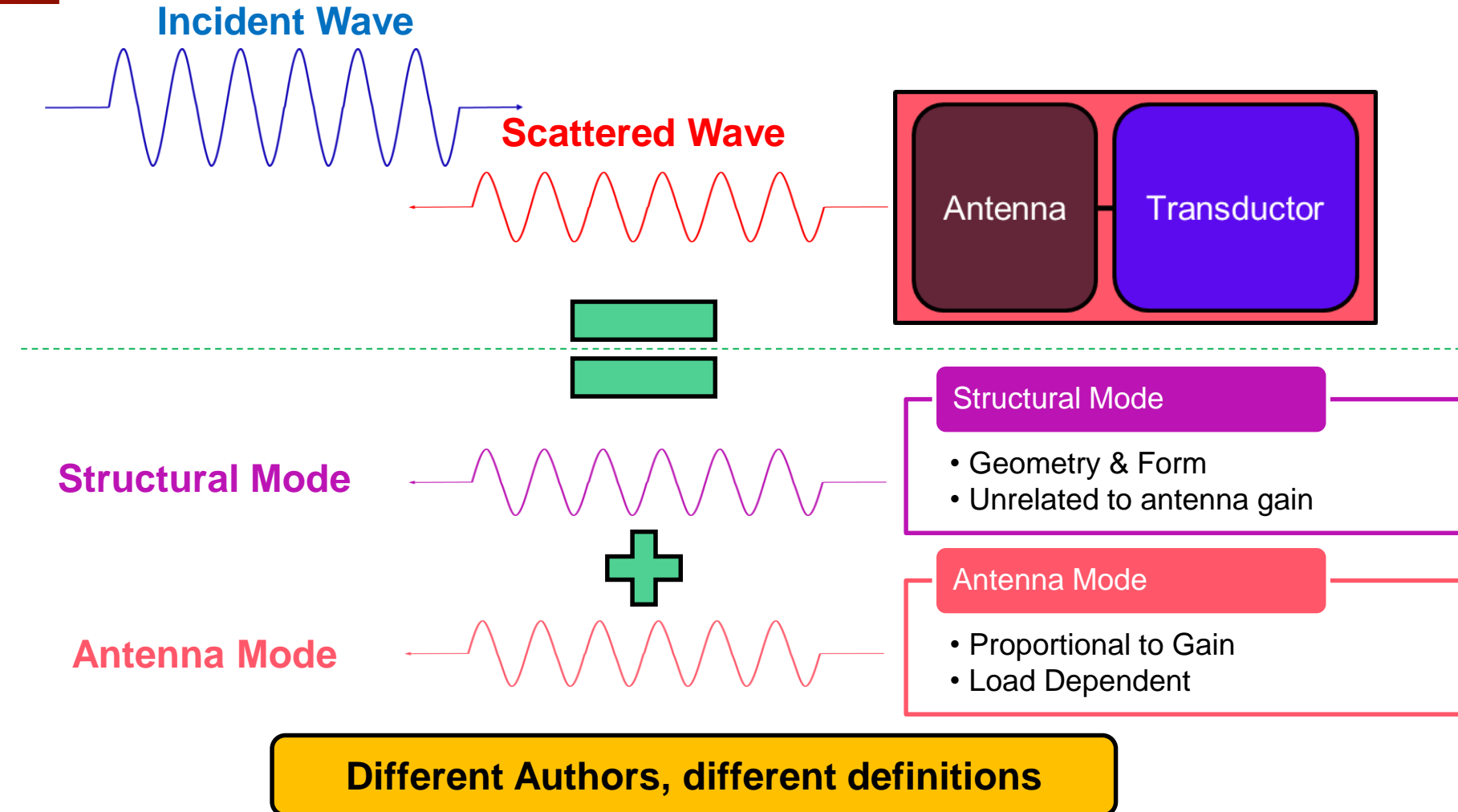
More General



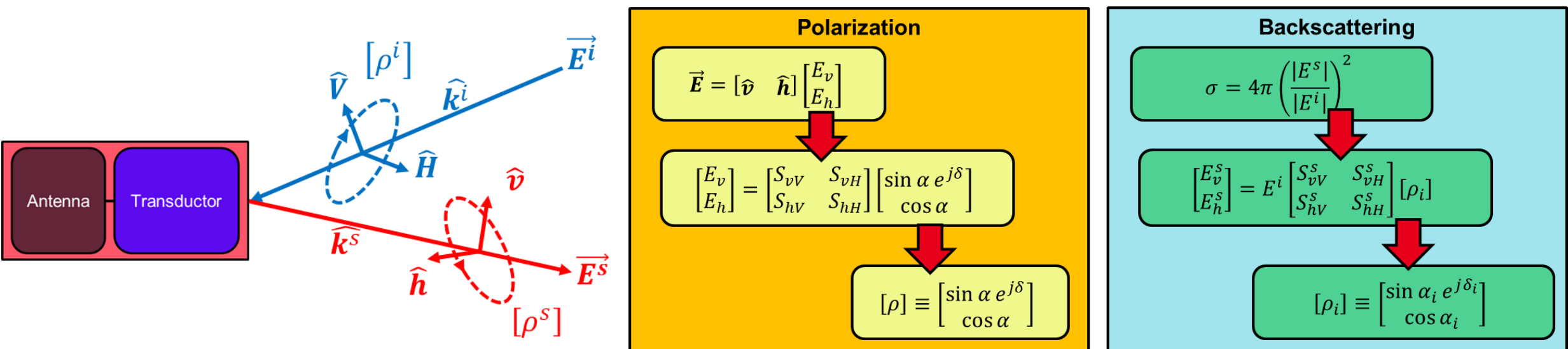
Mettre en place un modèle multiports qui caractérise toutes les interactions entre

- Onde incidente
- Onde réfléchie
- Champ absorbé
- Champ re-réfléchi

## DEFINITIONS



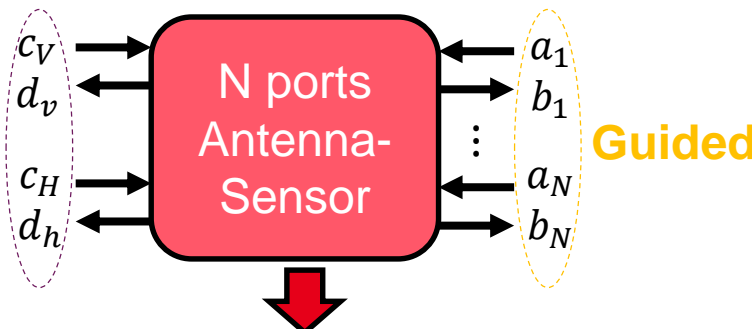
# MODÈLE POLARIMÉTRIQUE – DÉFINITIONS



→ Mise en place d'un modèle compatible avec des mesures et une caractérisation bistatique

## MODÈLE GÉNÉRAL (1)

Propagated



$c_V$  et  $c_H$  : incident wave  
 $d_V$  et  $d_H$  : scattered wave  
V : vertical  
H: Horizontal

Conditions

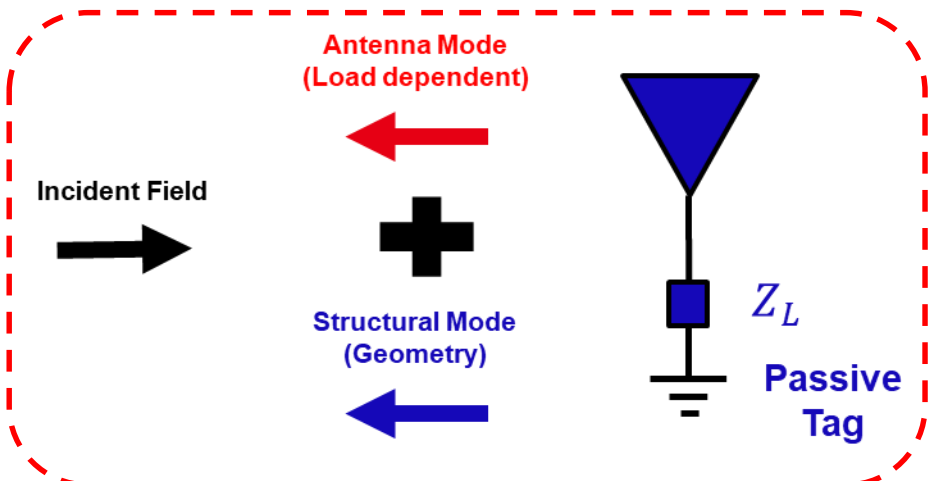
- Given frequency
- Far field
- Incident Propagation ( $\theta_i, \phi_i$ )
- Scattering Propagation ( $\theta_s, \phi_s$ )

$$\begin{bmatrix} b_1 \\ b_2 \\ \vdots \\ b_n \\ d_V \\ d_H \end{bmatrix} = \begin{bmatrix} [S] \\ & [T] \end{bmatrix} \begin{bmatrix} S_{11} & S_{12} & \cdots & S_{1N} & S_{1V} & S_{1H} \\ S_{21} & S_{22} & \ddots & S_{2N} & S_{2V} & S_{2H} \\ \vdots & \ddots & \ddots & S_{NN} & S_{NV} & S_{NH} \\ S_{N1} & S_{N2} & \cdots & S_{NN} & S_{NV} & S_{NH} \\ S_{v1} & S_{v2} & \cdots & S_{vN} & S_{vV} & S_{vH} \\ S_{h1} & S_{h2} & \cdots & S_{hN} & S_{hV} & S_{hH} \end{bmatrix} \begin{bmatrix} a_1 \\ a_2 \\ \vdots \\ a_n \\ c_V \\ c_H \end{bmatrix} \begin{bmatrix} [R] \\ & [P] \end{bmatrix}$$

- [S] - NxN S-parameters from Antenna
- [R] - Nx2 Receiving Matrix (Transceiver to Sensor)
- [T] - 2xN Transmitting Matrix (Sensor to Transceiver)
- [P] - 2x2 Depolarizing Matrix (Sensor & Environment)

## MODÈLE GENERAL (3)

- Développement de la matrice de rétrodiffusion complète



The Polarization State is function of the load  $[Z_L]$

$$\begin{bmatrix} \hat{v}_s & \hat{h}_s \end{bmatrix} \begin{bmatrix} E_v^s \\ E_h^s \end{bmatrix} = \begin{bmatrix} \hat{v}_s & \hat{h}_s \end{bmatrix} \left( \frac{1}{2} [S^0] - \frac{1}{2} [S^a] [K] [I^0] \right) \begin{bmatrix} \sin \alpha_i e^{j\delta_i} \\ \cos \alpha_i \end{bmatrix}$$

Radiated field, normalized by ports currents

$$[S^a] = \begin{bmatrix} S_{v1}^a & \dots & S_{vN}^a \\ S_{h1}^a & \dots & S_{hN}^a \end{bmatrix}$$

[ $I^0$ ] Short circuit matrix current NxN matrix

Structural mode

Antenna mode

Antenna-load interface matrix

$K_{ij}(Z_L, Z_a)$

$$[K] = ([1] - [S])([1] + [S])^{-1}([1] + [\hat{S}])([1] - [S][\hat{S}])^{-1}([1] + [S])$$

$$[K] = 2[z_a]^{-1}[z_L]([z_L] + [z_a])^{-1}[z_a]$$

Two-Port

Single-Port

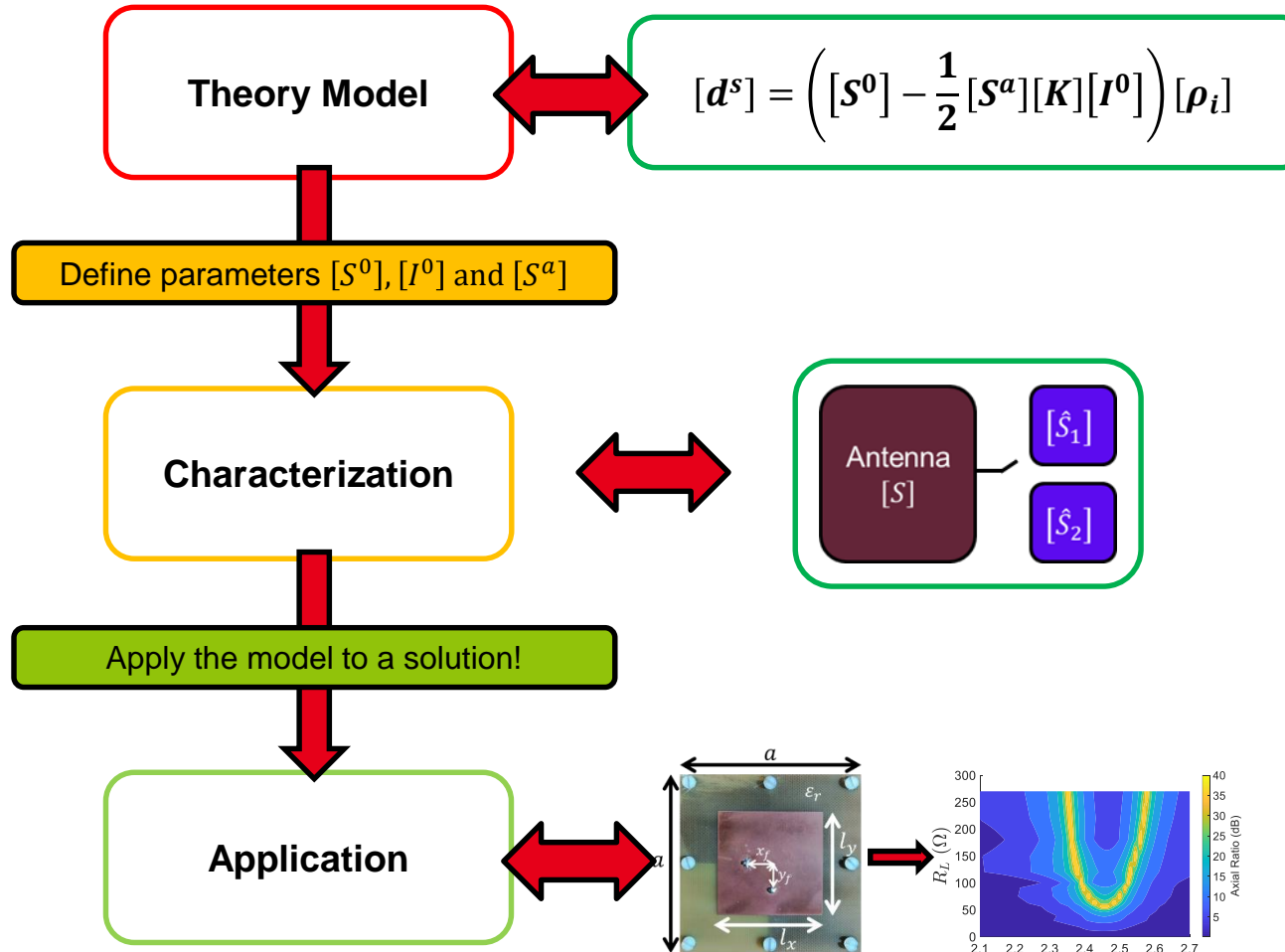
$$\frac{Z_L}{Z_L + Z_a}$$

R.C. Hansen, "Relationships between antennas as scatterers and as radiators", *Proceedings of IEEE*, pp. 659-662, Vol. 77, Issue 5, May 1989

L. F. Fonseca Dias, C. Jouavud, C. Delaveaud and H. Aubert, "Linear-to-Circular Polarization Conversion from Impedance Loading of Single-Port Patch Antennas," *2020 IEEE APS-URSI*, Montréal, Canada, July 2020

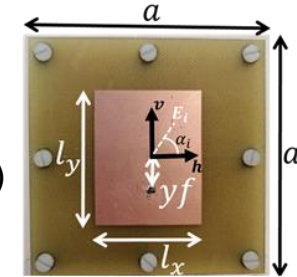
30/06/2022 Journée scientifique - « Communication par rétrodiffusion et rétro modulation »

## MODÈLE GENERAL (4)

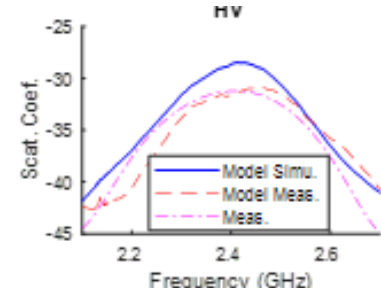
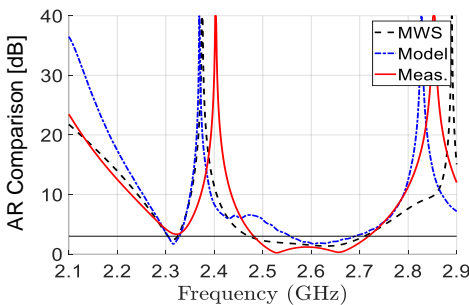
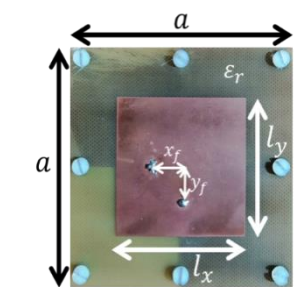


Antenne microruban  
(avec plan de masse)

1 port

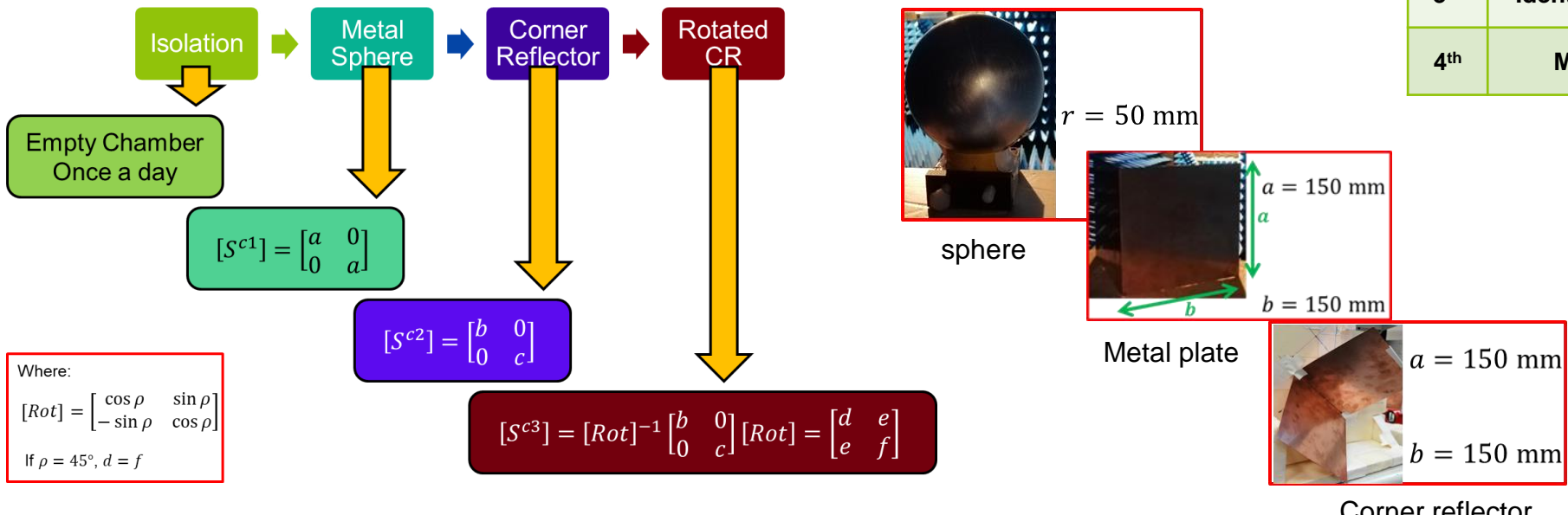
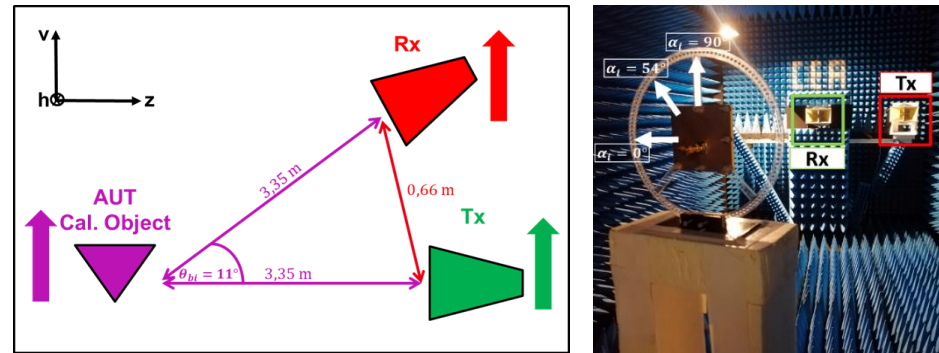


2 ports



## VALIDATION – RCS SETUP & CALIBRATION

- Setup de mesure:



## Measurement Process (for a given direction)

1 <sup>st</sup>	Local Excitation	$[S^a]$	$[S]$ or $[Z_a]$
2 <sup>nd</sup>	Characterize Model	$[I^0]$ and $[S^0]$	
3 <sup>rd</sup>	Identify for $R_L$ Pol. Diversity	$R_1^{ser}, R_2^{ser}, R_1^{shu}, R_2^{shu}$	
4 <sup>th</sup>	Measure Polarization	Axial Ratios	

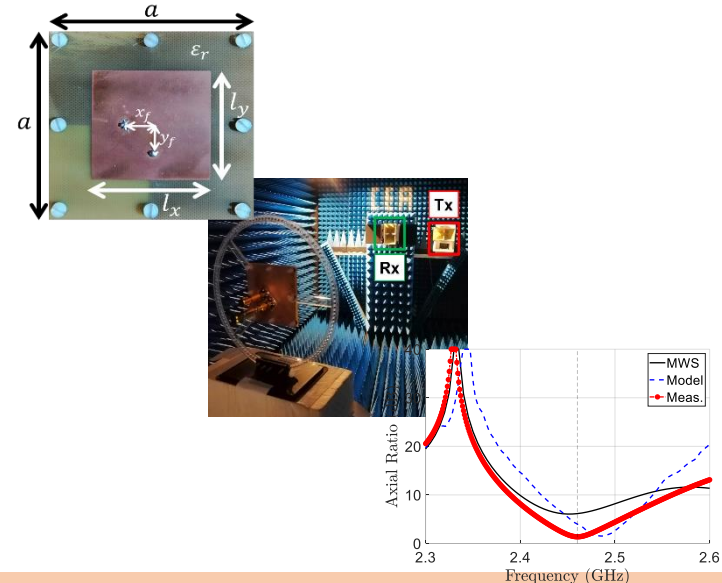
# RÉTRODIFFUSION POLARIMÉTRIQUE

- Mise en place d'un nouveau modèle polarimétrique pour la rétrodiffusion d'antennes à N ports

- Grâce au modèle → contrôle de la polarisation de la rétrodiffusion

$$[\mathbf{d}^s] = \left( [\mathbf{S}^0] - \frac{1}{2} [\mathbf{S}^a] [\mathbf{K}] \mathbf{I}^0 \right) [\boldsymbol{\rho}_i]$$

- Quelles applications?



# VALIDATION – 1-PORT ANTENNA (1)

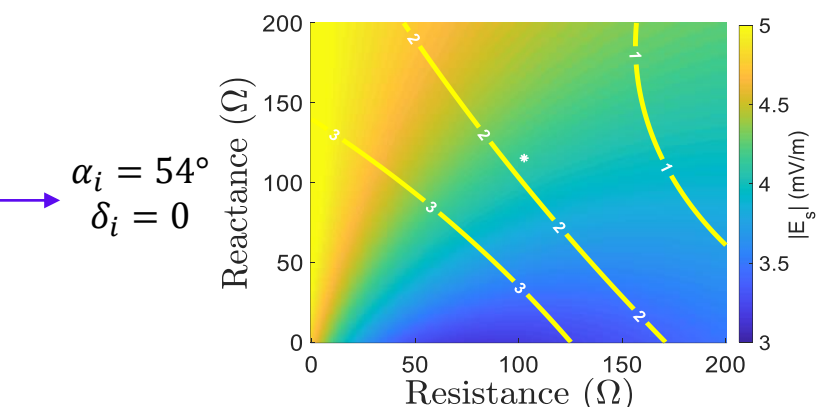
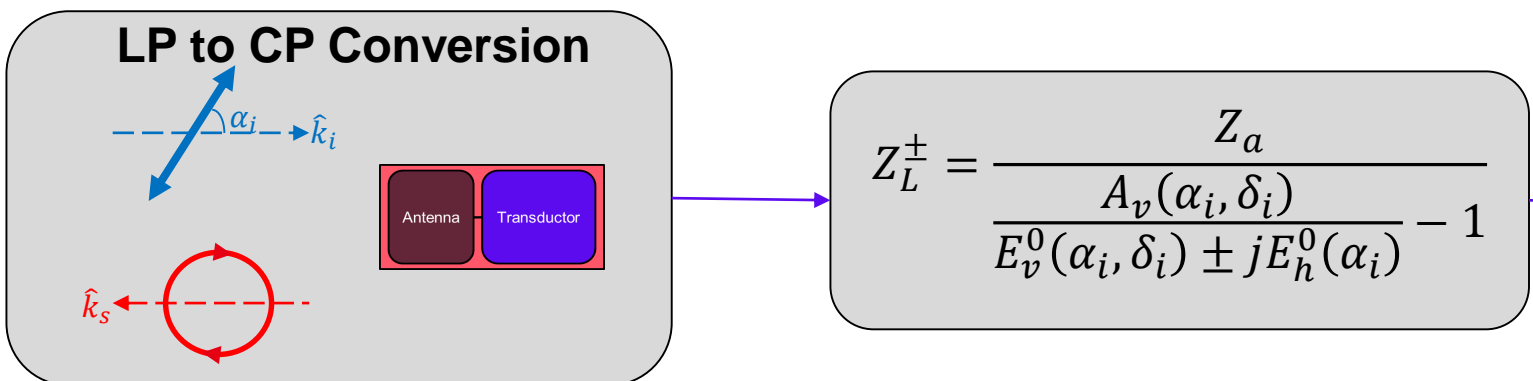
- Conversion de Polarisation Linéaire à Circulaire à l'aide d'un Tag Chargé par une Impédance Passive

$$[\mathbf{d}^s] = \left( [\mathbf{S}^0] - \frac{1}{2} [\mathbf{S}^a][\mathbf{K}][\mathbf{I}^0] \right) [\rho_i]$$

1-Port Antenna

$$\begin{cases} E_v^s = E_v^0(\alpha_i, \delta_i) - \frac{Z_L}{Z_L + Z_a} A_v(\alpha_i, \delta_i) \\ E_h^s = E_h^0(\alpha_i) \end{cases}$$

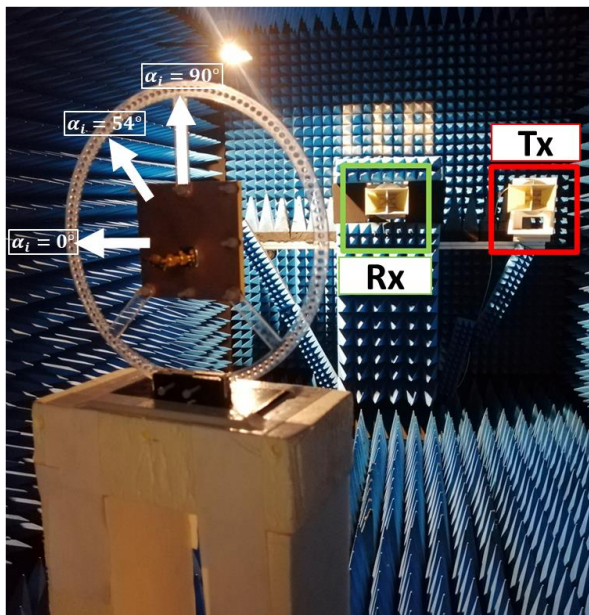
$$A_v = S_{v1}^a I_{1V}^0 \sin \alpha_i e^{j\delta_i}$$



AR versus complex load

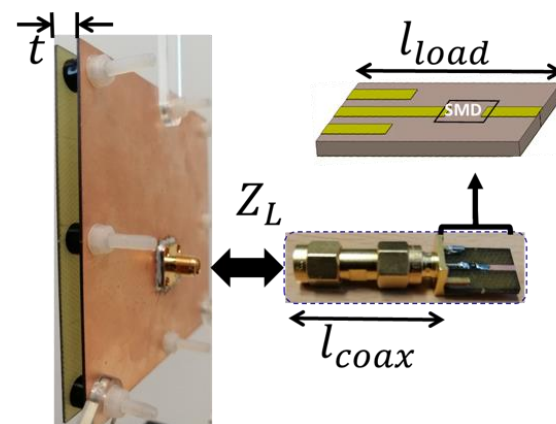
## VALIDATION – 1-PORT ANTENNA (2)

- Conversion de Polarisation Linéaire à Circulaire à l'aide d'un Tag Chargé par une Impédance Passive



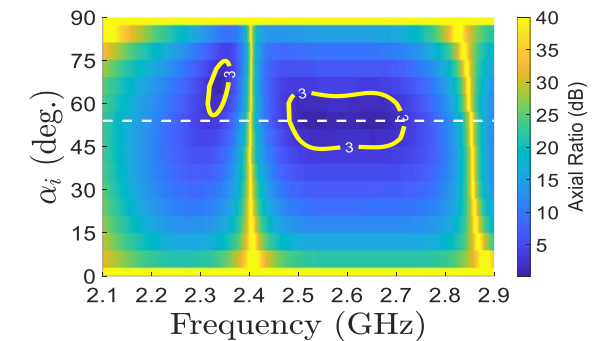
$Z_L^{+/-}$  at 2,6 GHz from Model

$$Z_L^+ = 93,6 + j114,5 \Omega$$

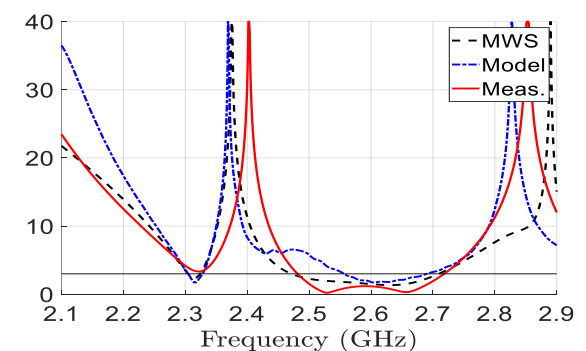


→ Taux d'ellipticité mesuré inférieur à 0,3 dB

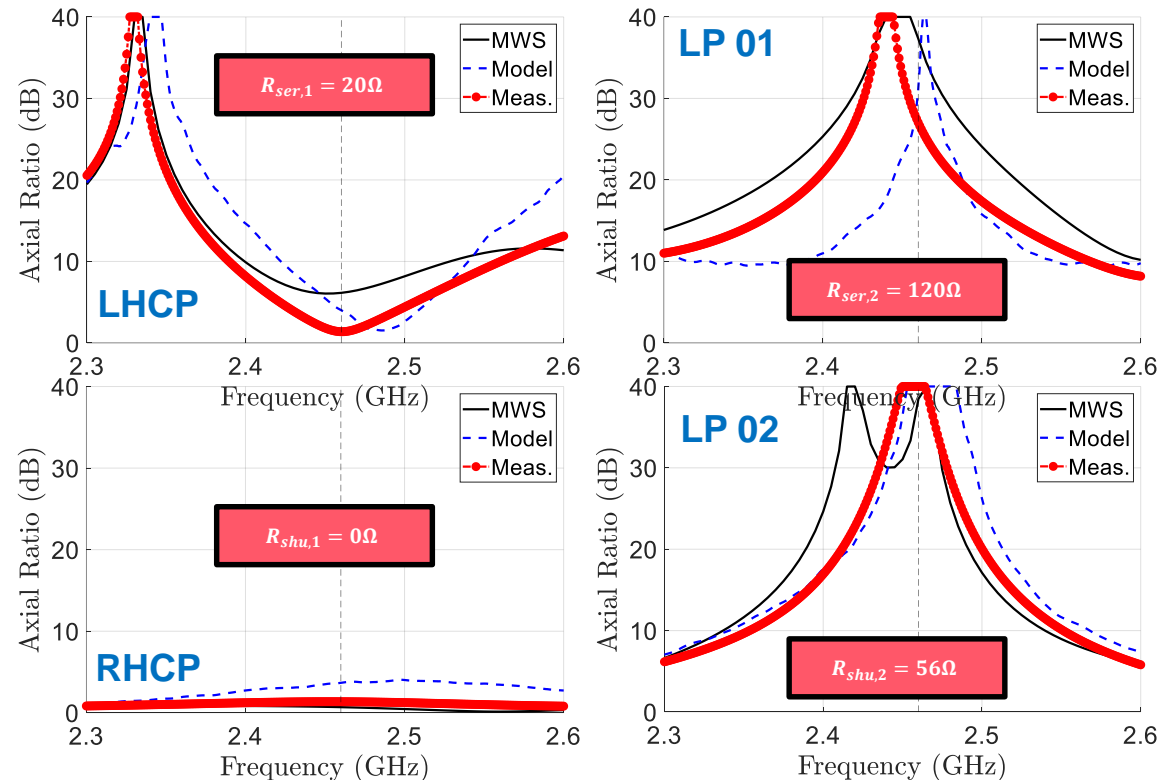
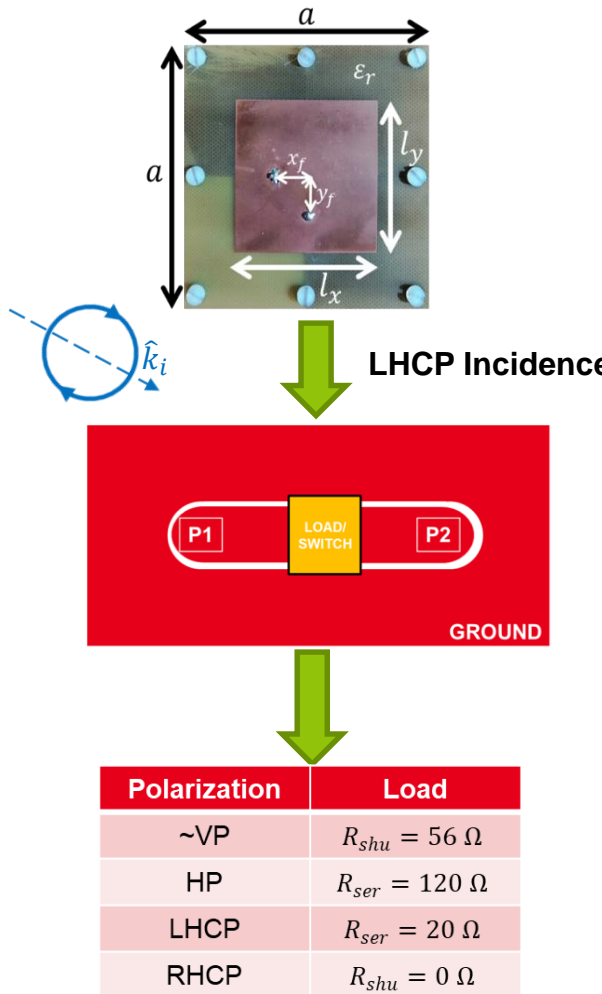
AR from Measurements



AR Comparison



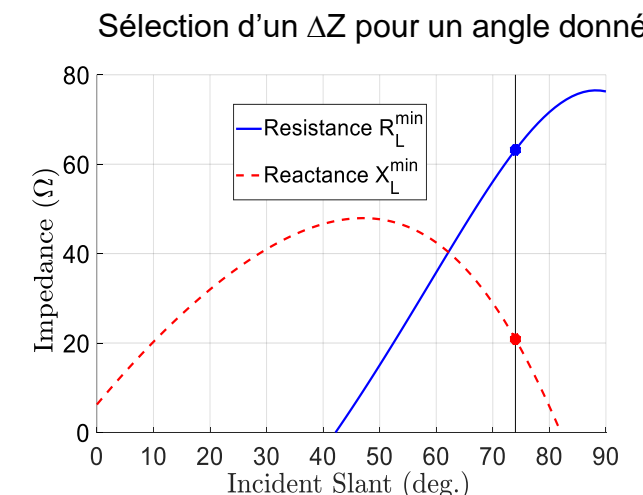
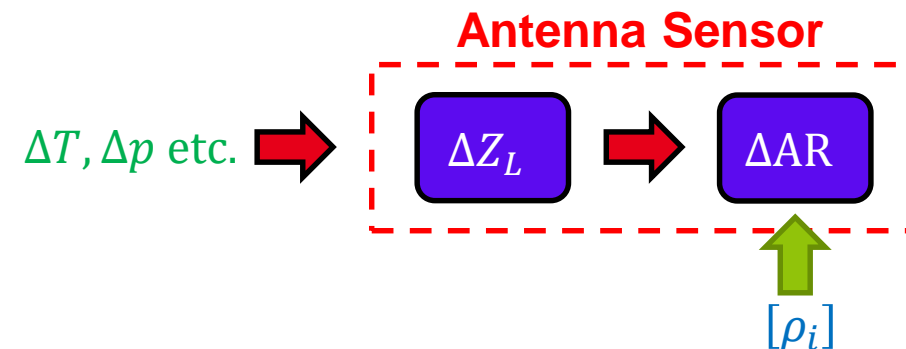
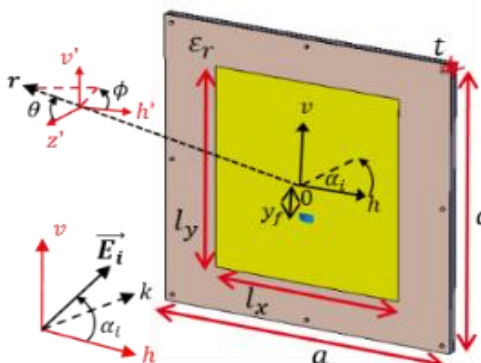
## APPLICATION – N-BITS POLARIZATION STATE



Evolution du rapport axial en fonction de la fréquence pour différentes charges

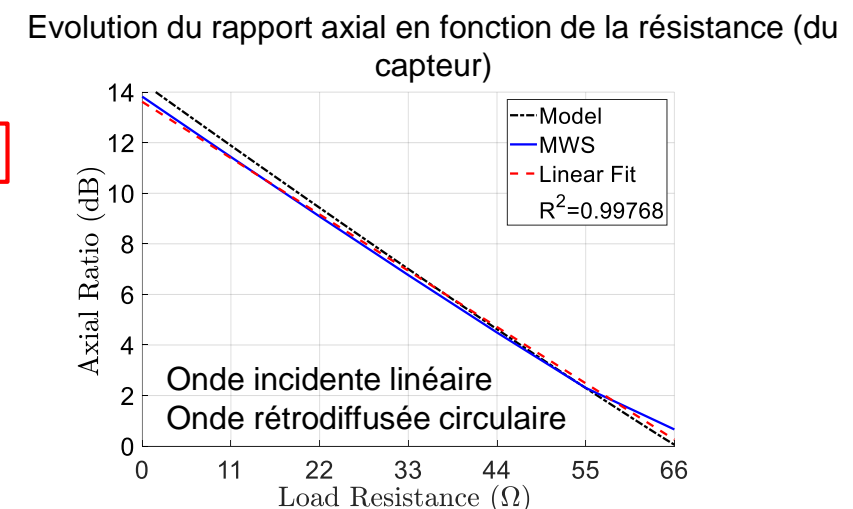
# APPLICATION – CAPTEUR SANS FILS PAR MESURE DE LA POLARISATION

- For 1-P Simulation:



$$\Delta Z_L = \Delta R_L$$

X<sub>L</sub> is constant



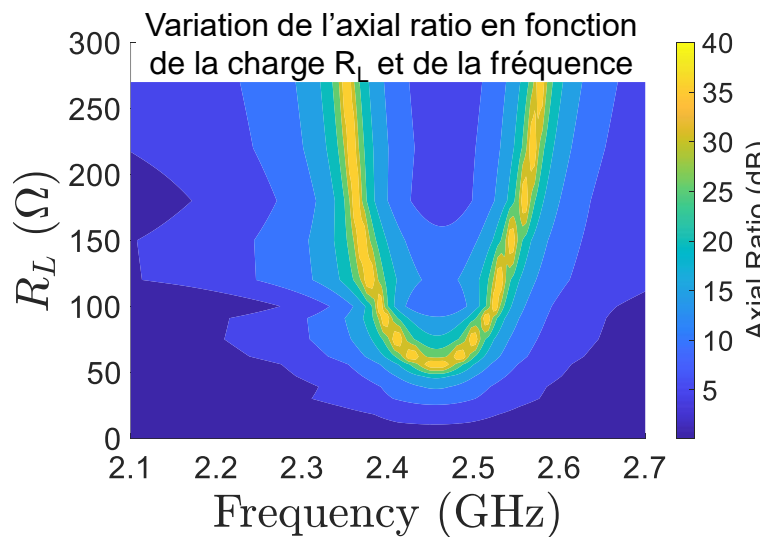
$\Delta R_L = 66\Omega ; \Delta AR = 14 \text{ dB}$

# APPLICATION – CAPTEUR SANS FILS PAR MESURE DE LA POLARISATION

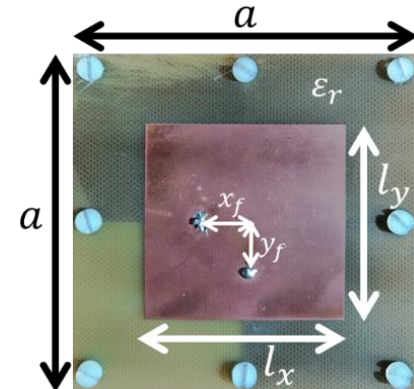
- Antenne à 2-P**

- Résultats expérimentaux

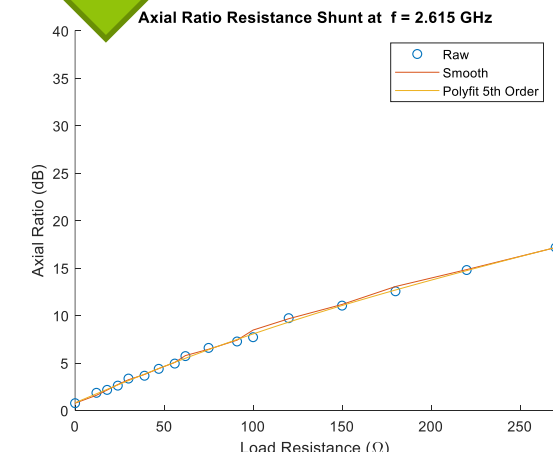
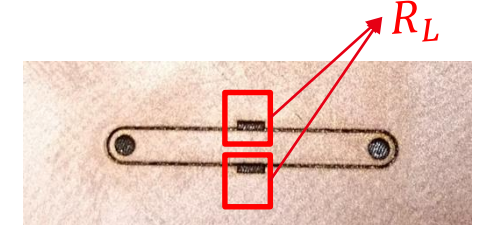
$$\begin{bmatrix} d_v^s \\ d_h^s \end{bmatrix} = \left( \begin{bmatrix} S_{vv}^0 & S_{vh}^0 \\ S_{hv}^0 & S_{hh}^0 \end{bmatrix} - \frac{1}{2} \begin{bmatrix} S_{v1}^a & S_{v2}^a \\ S_{h1}^a & S_{h2}^a \end{bmatrix} \begin{bmatrix} K_{11} & K_{12} \\ K_{21} & K_{22} \end{bmatrix} \begin{bmatrix} I_{1v}^0 & I_{1h}^0 \\ I_{2v}^0 & I_{2h}^0 \end{bmatrix} \right) [\hat{\rho}_i]$$



Antenne microruban à 2 accès



Détail de l'implémentation des charges



[2] "Dispositif de mesure d'au moins une grandeur physique et procédé de détermination associé », L. Fonseca Dias, C. Jouvaud, C. Delaveaud, H. Aubert, dépôt de brevet en cours

30/06/2022 Journée scientifique - « Communication par rétrodiffusion et rétro modulation »

## CONCLUSIONS ET PERSPECTIVES

- Développement et application d'un modèle général de rétrodiffusion polarimétrique
- Validation expérimentale validée pour une antenne à un port et pour une antenne à 2 ports
- Différentes applications dans le domaine des capteurs sans fils (passifs ou non)

# PERSPECTIVES

## Mesures

Mesure en extérieur –  
environnement non  
contrôlé

Réaliser des analyses  
de portées

## Caractérisation général

Développer une  
méthode pour ne pas à  
avoir à mesurer  $[S^a]$   
pour déterminer le  
modèle

## Choix du capteur

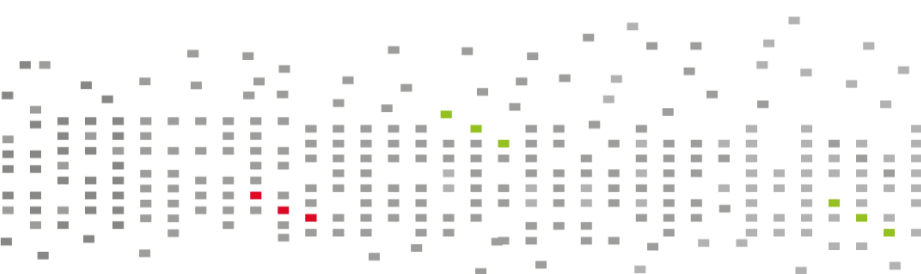
Fabriquer ou choisir un  
capteur compatible  
avec l'antenne

Développe une  $\hat{S}$   
optimal pour  
Polarisation

## Antenne optimale

Travailler sur le choix  
de l'antenne pour  
maximiser (ou non ) les  
composantes croisées

Travailler sur le  
contrôle du déphasage  
entre le mode de  
structure et le mode  
antenne



# Merci pour votre attention

---

**Leti, technology research institute**

Commissariat à l'énergie atomique et aux énergies alternatives  
Minatec Campus | 17 rue des Martyrs | 38054 Grenoble Cedex | France  
[www.leti.fr](http://www.leti.fr)



## FIGURES LINKS

1. P4: <https://encrypted-tbn0.gstatic.com/images?q=tbn:ANd9GcQRCA4IxazPpkZZmZzvTY9zavRE2KAIrSFvQ&usqp=CAU>
2. P4: [https://www.researchgate.net/figure/Expected-number-of-connected-devices-to-the-Internet-This-chart-is-obtained-from-recent\\_fig1\\_279068905](https://www.researchgate.net/figure/Expected-number-of-connected-devices-to-the-Internet-This-chart-is-obtained-from-recent_fig1_279068905)
3. P6: From PhD Day 2021 Poster
4. P5: <https://buildingcontext.me/2014/10/20/iot-reference-model-introduced-at-iot-world-forum-2014/>

# VALIDATION – 1-PORT ANTENNA (1)

- Conversion de Polarisation Linéaire à Circulaire à l'aide d'un Tag Chargé par une Impédance Passive

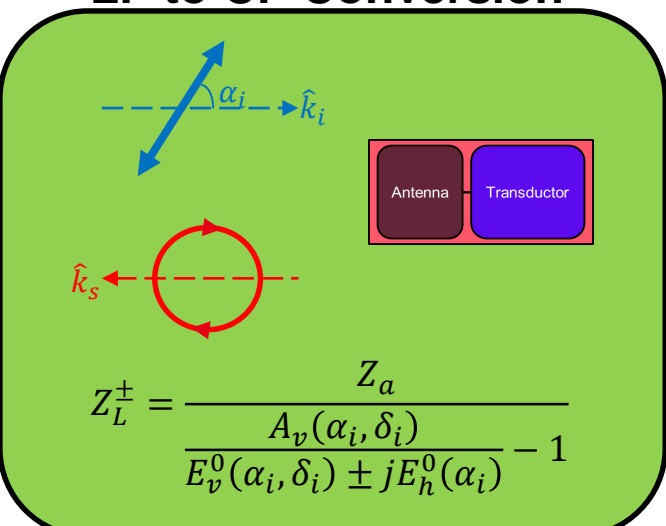
$$[d^s] = \left( [S^0] - \frac{1}{2} [S^a] [K] [I^0] \right) [\rho_i]$$

1-Port Antenna

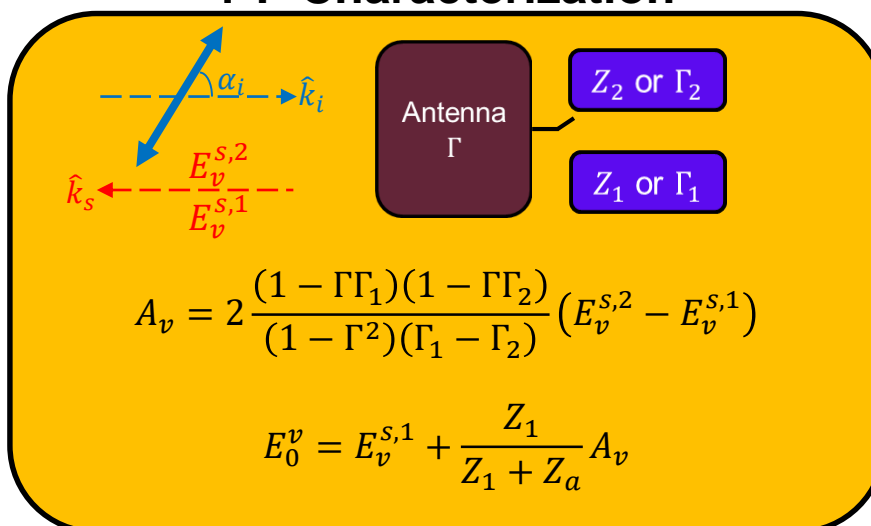
$$\begin{cases} E_v^s = E_v^0(\alpha_i, \delta_i) - \frac{Z_L}{Z_L + Z_a} A_v(\alpha_i, \delta_i) \\ E_h^s = E_h^0(\alpha_i) \end{cases}$$

$$A_v = S_{v1}^a I_{1V}^0 \sin \alpha_i e^{j\delta_i}$$

## LP to CP Conversion

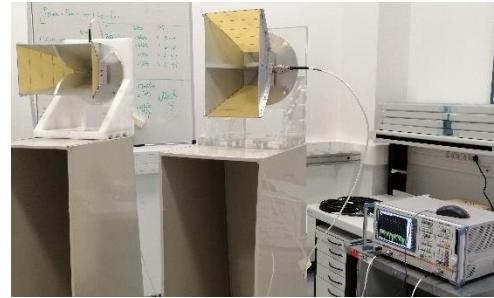


## 1-P Characterization

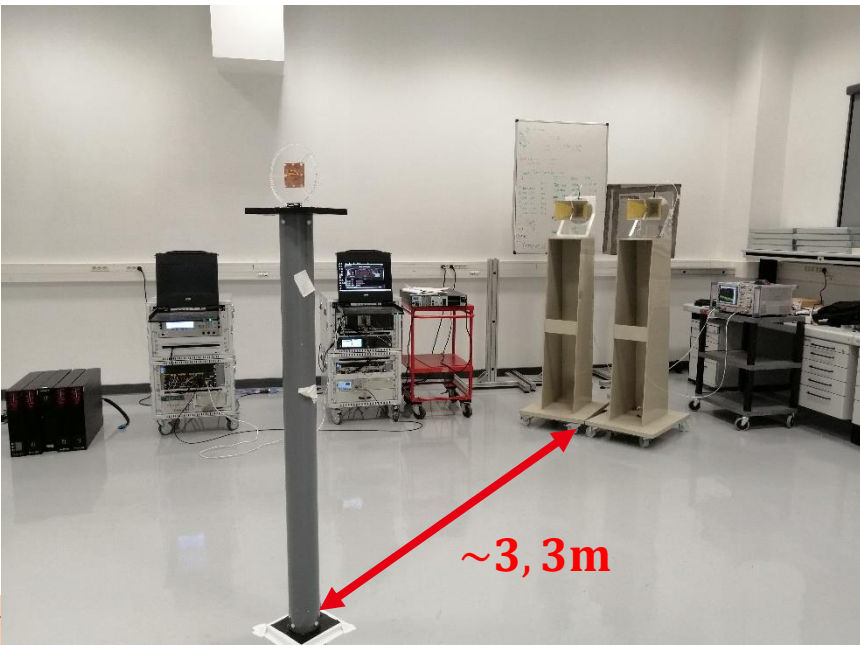


## SETUP

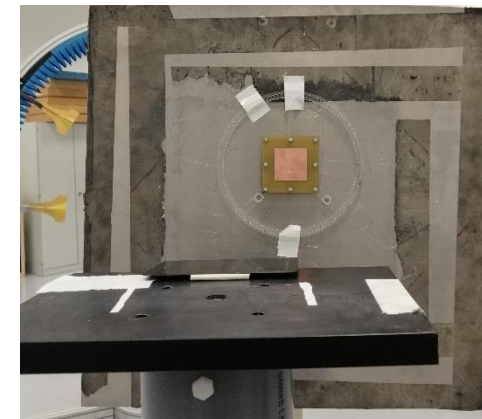
- Indoor measurements (no chamber)
- Two setups (Co- and X-Pol.):



No Metal Plate setup

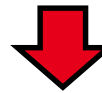


Metal Plate setup



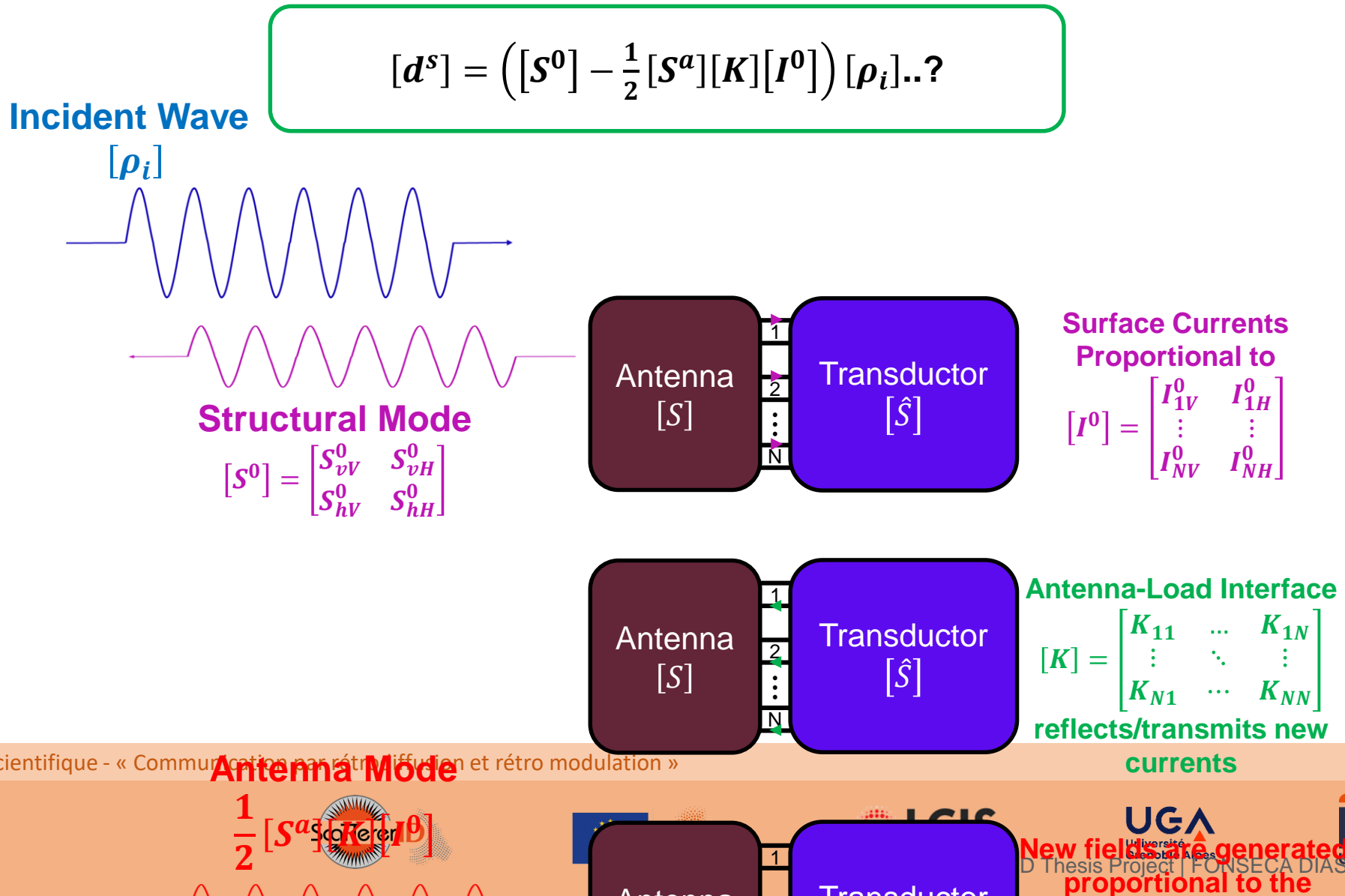
30/06/2022 Journée scientif

$$\begin{bmatrix} b_1 \\ b_2 \\ \vdots \\ b_n \\ d_v \\ d_h \end{bmatrix} = \begin{bmatrix} S_{11} & S_{12} & \dots & S_{1N} & S_{1V} & S_{1H} \\ S_{21} & S_{22} & \dots & S_{2N} & S_{2V} & S_{2H} \\ \vdots & \ddots & \ddots & \vdots & \vdots & \vdots \\ S_{N1} & S_{n2} & \dots & S_{NN} & S_{NV} & S_{NH} \\ S_{v1} & S_{v2} & \dots & S_{vN} & S_{vV} & S_{vH} \\ S_{h1} & S_{h2} & \dots & S_{hN} & S_{hV} & S_{hH} \end{bmatrix} \begin{bmatrix} a_1 \\ a_2 \\ \vdots \\ a_n \\ c_V \\ c_H \end{bmatrix}$$



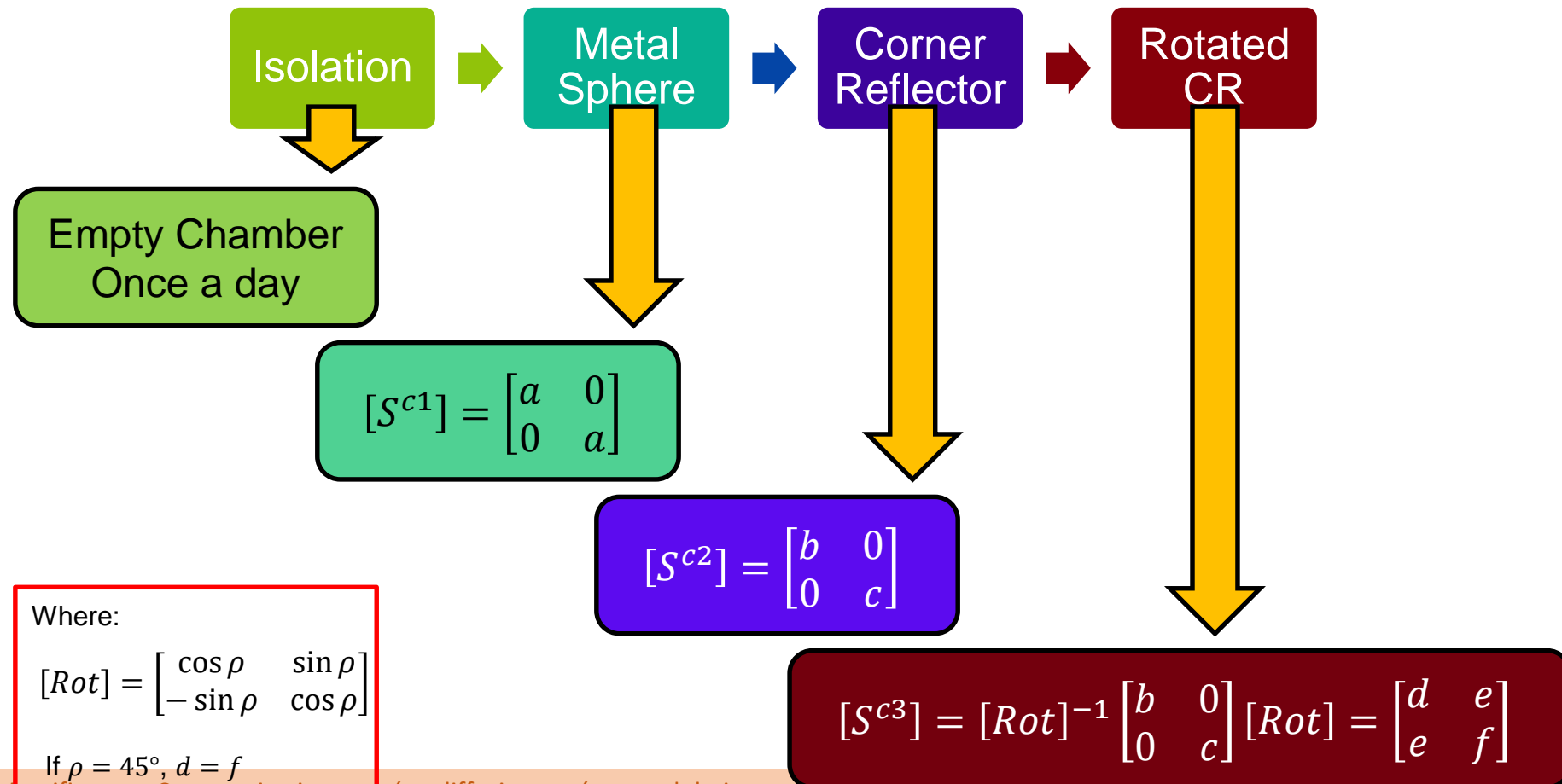
- $[S]$  - NxN S-parameters from Antenna
- $[R]$  - Nx2 Receiving Matrix (Transceiver to Sensor)
- $[T]$  - 2xN Transmitting Matrix (Sensor to Transceiver)
- $[P]$  - 2x2 Depolarizing Matrix (Sensor & Environment)

## THE MODEL – GENERAL MODEL (4)



## RCS SETUP – CALIBRATION (1)

- Calibration's Flow, based on the setup « B » from Yueh:



## STATE OF THE ART – WHAT HAS BEEN MISSING (1)

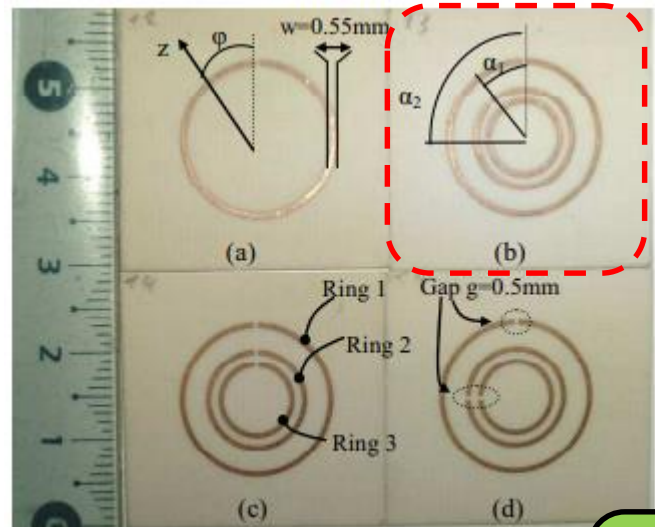
## Interrogation Principle

Frequency or Amplitude Modulation

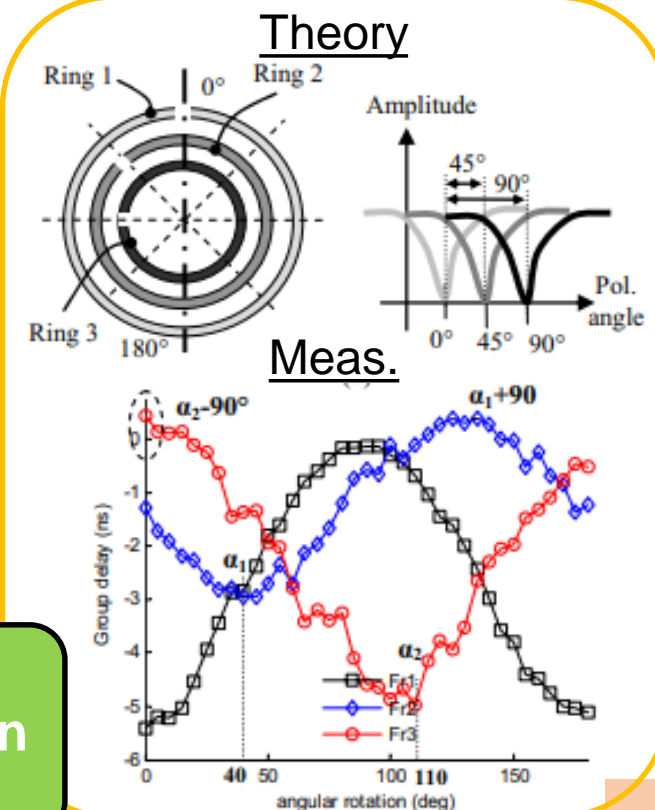
Clutter reduction techniques

Polarization Control!

- Chipless RFID



What has been done with Polarization Diversity so far?



No Polarization Control !

## STATE OF THE ART – CLUTTER REDUCTION

## Interrogation Principle

Frequency or Amplitude Modulation

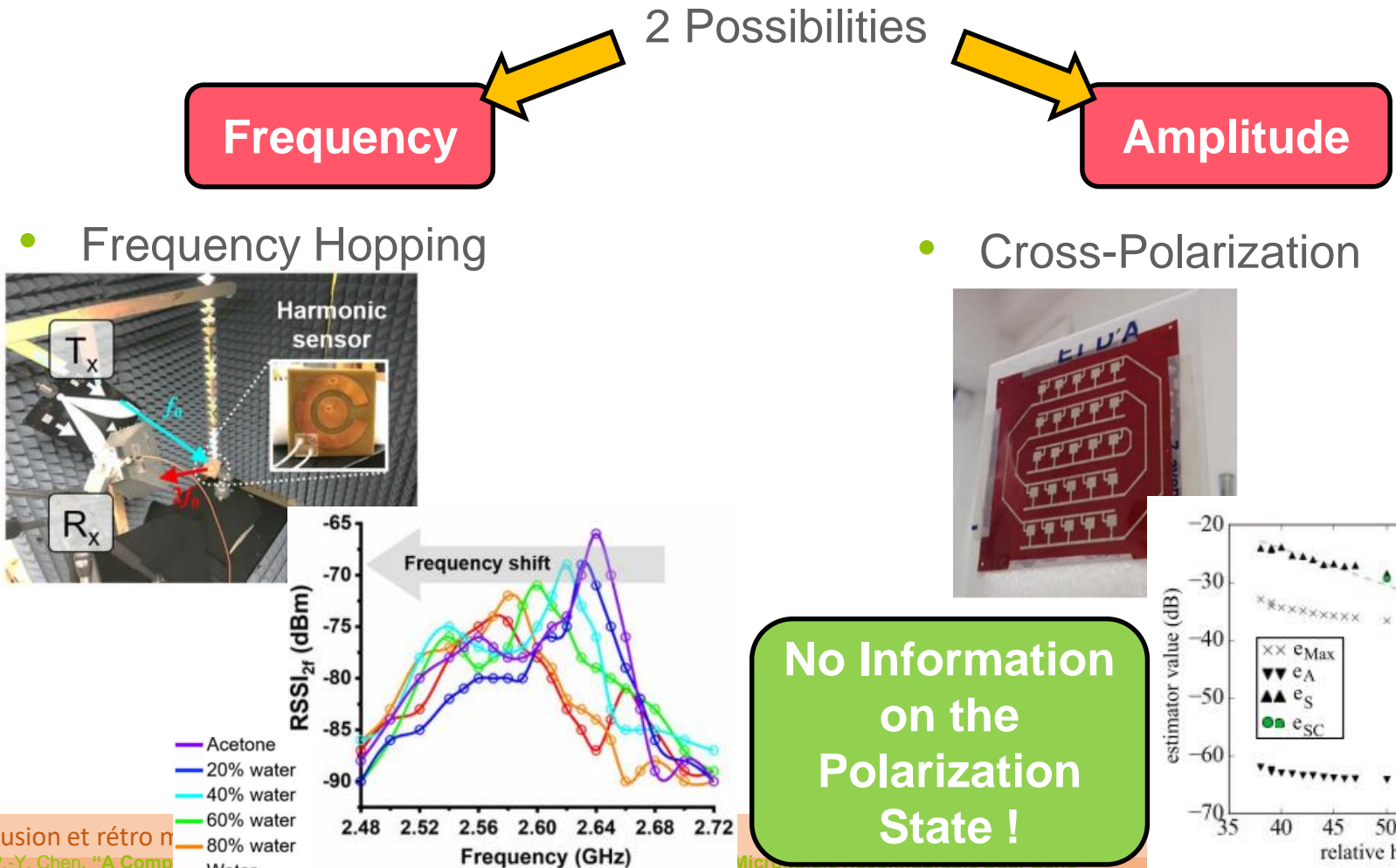
Clutter reduction techniques

Polarization Control!

30/06/2022 Journée scie

[2] L. Zhu, M. Farhat, Y.-C. Chen, K. K. Salama and P.-Y. Chen, "A Compact Antenna", IEEE Sensors Journal, pp. 1248-1253, Vol. 20, Issue 21, Nov. 2020

[3] D. Henry, J. G. D. Hester, H. Aubert, ScattererID, M. Tentzeris, "Long-Range Wireless Interrogation of Passive Humidity Sensors Using Van-Atte Cross-Polarization Effect and Different Beam Scanning Techniques", IEEE Transactions on Microw. Theory & Techn., pp. 5345-5354, Vol. 65, Issue 12, Dec. 2017



trodiffusion et rétro n

ScattererID

erc

LCIS

PhD Thesis Project | FONSECA DIAS Luis Felipe | 06-05-2022

GRENOB

UGA

INP

UGA

Grenoble Alpes

35